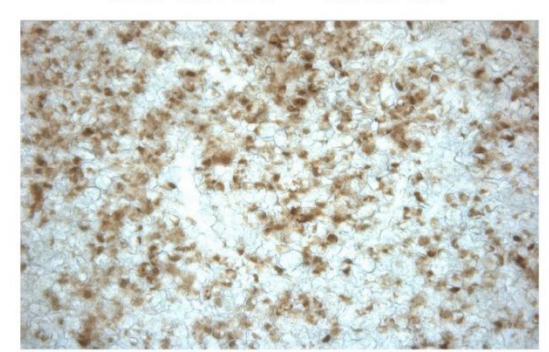
№3 (30), 2019

anti-CA-125 + GAM-Px

anti-IL-6 + GAM-Px





УДК 57.043; 577.34

ИССЛЕДОВАНИЕ ВЛИЯНИЯ НАНОЧАСТИЦ ДИОКСИДА ЦЕРИЯ НА РАДИОЧУВСТВИТЕЛЬНОСТЬ НОРМАЛЬНЫХ И ОПУХОЛЕВЫХ КЛЕТОК

М.В. Улитко^{1,2}, Т.Р. Султанова¹, Р.А. Вазиров¹, С.Ю. Соковнин^{1,3}, В.Г. Ильвес³

¹ Уральский федеральный университет имени первого Президента России Б.Н. Ельцина, г. Екатеринбург, Россия

² Институт медицинских клеточных технологий, г. Екатеринбург, Россия ³ Институт электрофизики УрО РАН, г. Екатеринбург, Россия

ВВЕДЕНИЕ

Одним из основных методов лечения онкологических заболеваний является лучевая терапия. Механизм радиационного воздействия основан на структурно-метаболических изменениях клеток, приводящих к нарушению их функций, подавлению пролиферативной активности и разрушению опухолевой ткани [1]. Однако ионизирующее излучение вызывает изменения не только в опухоли, но и в окружающих ее нормальных тканях, что приводит к необходимости поиска способов снижения повреждающего воздействия на здоровые клетки при сохранении положительного лечебного эффекта от лучевой терапии.

Одним из самых перспективных и стремительно развивающихся направлений является нанобиотехнология. Маленькие размеры, а также большая удельная поверхность наночастиц повышает их реакционную и каталитическую активность. Это открывает широкие перспективы для применения наноматериалов во многих областях медицины [2, 3]. Значительный интерес для исследования представляют наночастицы диоксида церия (CeO_2), проявляющие ферментоподобные свойства, за счёт чего они способны оказывать цитопротекторное, а в некоторых случаях, цитотоксическое действие на клетки. Кроме того, наночастицы CeO_2 могут проявлять радиопротекторные свойства по отношению к здоровым клеткам, защищая их от радиационно-индуцированного окислительного стресса, поддерживая высокий уровень дегидрогеназной активности, снижая количество апоптотических клеток и уровень активных форм кислорода, что позволяет в перспективе использовать эти наночастицы в медицинской сфере при радиотерапии опухолевых заболеваний [4–6].

B данной работе исследуется влияние наночастиц CeO_2 на радиочувствительность культур нормальных и опухолевых клеток.

МАТЕРИАЛЫ И МЕТОДЫ

Эксперименты проводились на культуре дермальных фибробластов человека, выделенной из биоптата кожи в Институте медицинских клеточных технологий, г. Екатеринбург и на клеточной культуре карциномы шейки матки человека HeLa, полученной из Российской коллекции клеточных культур Института цитологии PAH, г. Санкт-Петербург. Клетки помещали в 96-луночные планшеты в посевной дозе 2×10^5 кл/мл и культивировали 24 часа в CO_2 инкубаторе Sanyo (Panasonic) MCO-18AC при температуре 37° С в атмосфере с 5% CO_2 , 95% влажности с использованием питательной сред Игла DMEM (Биолот, Россия) с добавлением 10% эмбриональной телячьей сыворотки (Биолот, Россия) и гентамицина в дозе 50 мкг/мл. Для морфологических исследований клетки культивировались на покровных стёклах в 6-луночных планшетах.

Исследовали радиомодифицирующие свойства мезопористого нанопорошка CeO_2 , полученного методом испарения импульсным электронным пучком в газе низкого давления на установке HAHOБИМ-2 в Институте электрофизики УрО РАН. Синтезированные нанопорошки имеют размер зерен от 3 до 5 нм и высокую удельную поверхность до $190 \text{ m}^2/\text{г}$., при этом размер агломератов достигал 300-1000 нм. Для получения стабильной суспензии наночастиц использовали стабилизатор цитрат натрия. Водные растворы наночастиц CeO_2 вносили в клеточные культуры в конечных концентрациях 0,05 мкг/мл и 0,1 мкг/мл.

Облучение образцов проводилось на установке для рентгенотерапии Xstrahl 300 (100–320 кэВ) с источником излучения $^{6\circ}$ Со в Свердловском областном онкологическом диспансере. Образцы подвергались облучению с энергией 150 кэВ, мощность поглощенной дозы в образце составляла 62 сГр/мин. Контроль поглощенной дозы проводился с использованием термолюминесцентных дозиметров ТЛД-500 [7] и цветовых дозиметров СО ПД (Э) — 1/10 [8]. Облучение образцов проводилось в дозах 5 Гр, 10 Гр и 15 Гр. Расхождение поглощенной дозы в объёме образцов не превышало 2 %.

Для оценки биологического эффекта экспериментального воздействия через 72 часа определяли морфометрические показатели и жизнеспособность клеток. Оценку жизнеспособности проводили с помощью стандартного МТТ-теста [9] с использованием автоматического спектрофотометрического планшетного сканера Тесап Infinite M200 PRO. Перед морфометрическим исследованием клетки фиксировали на стеклах и окрашивали по Романовскому-Гимза, после чего с помощью микроскопа Axio lab. А1 и программы ImageJ определяли площадь клеток и ядер, вычисляли ядерноцитоплазматический индекс. Статистический анализ полученных данных проводили с помощью программы STATISTICA 10. Вычислялось среднее арифметическое, стандартное отклонение и ошибку среднего. Для оценки значимости различий между контрольными и экспериментальными образцами клеток использовали критерий Манна-Уитни. При вероятности ошибки (р) < 0,05 различия между средними значениями считали достоверными.

РЕЗУЛЬТАТЫ И ОБСУЖДЕНИЕ

В ходе эксперимента выявлены различия в воздействии наночастиц CeO_2 на нормальные и опухолевые клетки. В то время как наночастицы не оказали токсического действия на дермальные фибробласты, в клетках линии HeLa наблюдается нарушение морфофункционального состояния, что может являться следствием оксидазоподобной активности наночастиц в закисленной среде опухолевых клеток и усиления окислительных процессов.

№3 (30), 2019

При облучении нормальных фибробластов при добавлении наночастиц CeO_2 в концентрации 0.05 мкг/мл наблюдается повышение жизнеспособности клеток при дозах облучения 5 Γp и 10 Γp , что свидетельствует о проявлении радиопротекторных свойств наночастиц CeO_2 (рис. 1).

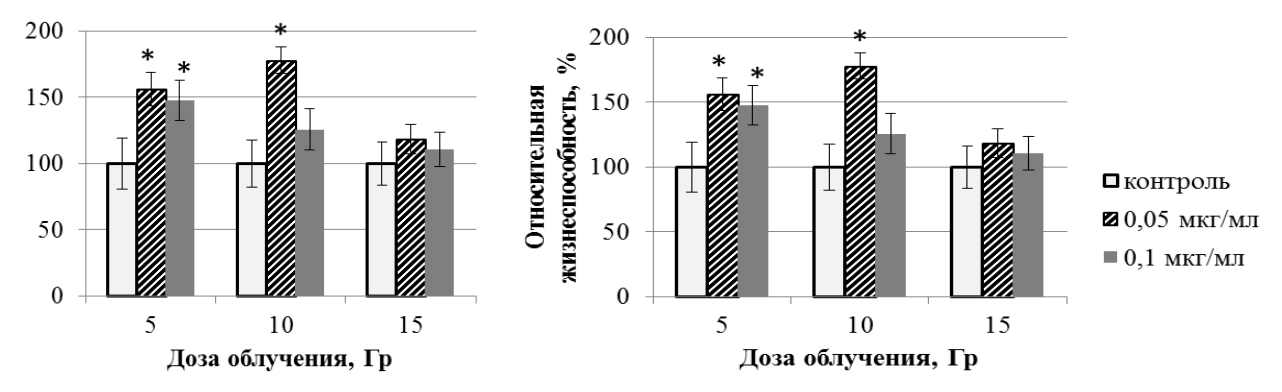


Рис. 1. Влияние облучения на жизнеспособность клеточной культуры дермальных фибробластов человека после введения наночастиц CeO2

Рис. 2. Влияние облучения на жизнеспособность клеточной культуры дермальных фибробластов человека после введения наночастиц CeO2

Примечание * – различие с контролем достоверно (p < 0,05)

Облучение в дозах 5 Гр и 10 Гр на фоне введения наночастиц CeO_2 приводит к снижению ядерноцитоплазматического отношения за счёт уменьшения размеров ядра и увеличения площади цитоплазмы клеток (рис. 2) и появлению в культуре удлиненных клеток веретенообразной формы, свидетельствующем о дифференцировке фибробластов в более зрелые фиброциты (рис. 3).

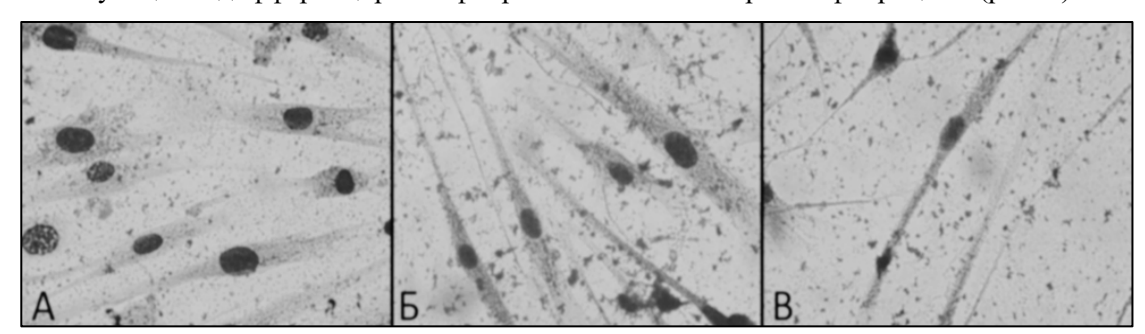
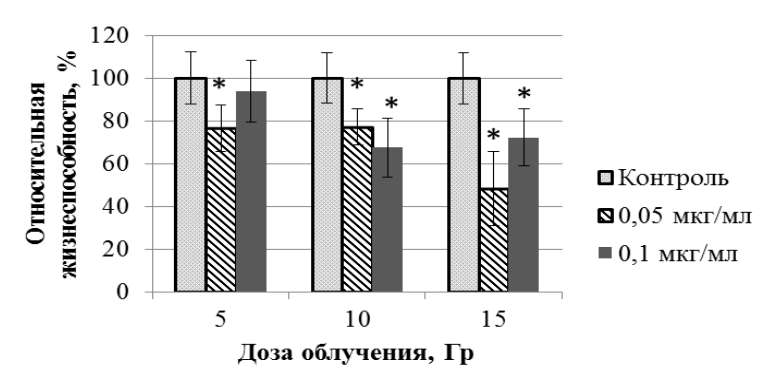


Рис. 3. Воздействие облучения 5 Гр на морфологию дермальных фибробластов при добавлении наночастиц CeO2, ув. 400: А) Без наночастиц CeO2; Б) $0.05 \, \text{мкг/мл}$; В) $0.1 \, \text{мкг/мл}$



Примечание: * - различие с контролем достоверно (p<0.05)

Рис. 4. Влияние облучения на жизнеспособность клеточной культуры HeLa после введения наночастиц CeO2

При облучении опухолевых клеток HeLa на фоне введения наночастиц CeO₂ наблюдается снижение их жизнеспособности, что говорит о радиосенсибилизации опухолевых клеток (рис. 4). Ядерно-цитоплазматическое отношение клеток HeLa при облучении увеличивается за счёт уменьшения площади цитоплазмы, при этом наблюдается фрагментация и пикноз ядер, свидетельствующие об апоптозе клеток (рис. 5).

Таким образом, в ходе эксперимента выявлены различия влияния наночастиц диоксида церия на морфофункциональное состояние нормальных и опухолевых клеток и их чувствительность к действию ионизирующего облучения. Наночастицы диоксида церия не влияют на жизнеспособность дермальных фибробластов человека, однако оказывают цитотоксический эффект в отношении клеточной культуры HeLa.

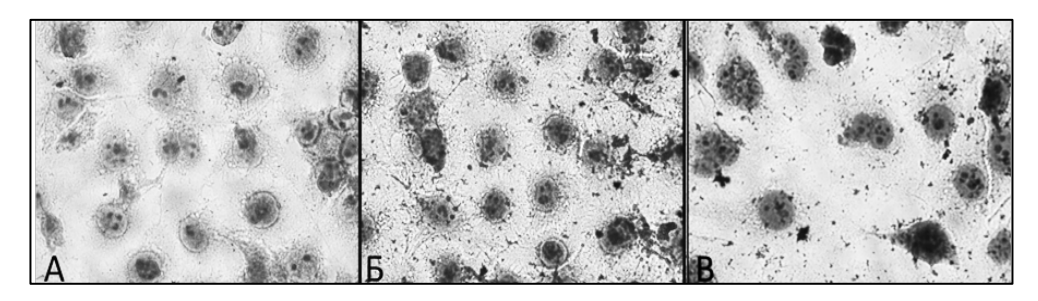


Рис. 5. Воздействие облучения 5 Гр на морфологию клеток HeLa при добавлении наночастиц CeO2, ув. 400: А) Без наночастиц CeO2; Б) 0.05 мкг/мл; В) 0.1 мкг/мл

Установлены особенности радиомодифицирующего действия наночастиц диоксида церия по отношению к нормальным и опухолевым клеткам. На фибробласты человека данные наночастицы оказали радиопротекторное действие, повысив их жизнеспособность после облучения и ускорив при этом дифференцировку фибробластов в более зрелые формы – фиброциты. Радиозащитные свойства могут быть следствием антиоксидантной активности частиц, которая позволяет инактивировать возникающие под действием ионизирующего облучения свободные радикалы и перекись водорода. На опухолевые клетки наночастицы CeO₂ действуют как радиосенсибилизаторы, поскольку в кислой среде клеток HeLa их антиоксидантная активность снижается, и процессы окисления усиливаются.

Уникальные ферментоподобные свойства наночастиц диоксида церия в сочетании с их низкой токсичностью позволяет найти им эффективное применение в радиотерапии. Дальнейшее исследование механизмов действия наночастиц диоксида церия на живые системы может дать толчок для развития новых эффективных способов лечения пациентов с различными онкологическими заболеваниями.

ЛИТЕРАТУРА

C. Michael, Joiner Albert van der Kogel, Basic clinical radibiology, 4th edition A Hodder Arnold Publication, 2009. P. 375. 12.

AshaRani P.V. et al. Approaches to safe nanotechnology. Managing the health and safety concerns associated with engineered nanomaterials // DHHS (NIOSH). 2009. N 125. – 104 p.

Зиганшин А.У., Зиганшина Л.Е. Наночастицы: фармакологические надежды и токсикологические проблемы // Казанский медицинский журнал. – 2008. – Т. 89, № 1. – С. 1–7.

Wason M.S., Zhao J. Cerium oxide nanoparticles: potential applications for cancer and other diseases // American journal of translational research. – 2013. – V. 5, № 2. – P. 126–131.

Colon J. et al. Protection from radiation-induced pneumonitis using cerium oxide nanoparticles // Nanomedicine: Nanotechnology, Biology and Medicine. − 2009. − V. 5, № 2. − P. 225–231.

A.L. Popov et al. Radioprotective effects of ultra-small citrate-stabilized cerium oxide nanoparticles RSC Advances, 2016, 6, 106141–106149

C. Reuven, W.S. Stephen, McKeever, Theory of thermoluminescence and related phenomena, World Scientific Publishing Co. Pte. Ltd., 1997.

Милинчук В.К., Клиншпонт Э.Р., Тупиков В.И. Основы радиационной стойкости органических материалов. М.: Энергоатомиздат, 1994. С. 256.

T. Mosmann, J. Immunol. Meth., 1983, 65, 55.